

北四国地域のDAD特性と洪水比値について(2)

愛媛大学工学部 正員 豊國永次
 同 正員 渡辺政広
 愛媛大学大学院 学生員 ○原一之

これまで北四国地域の河川流域を対象に、流域降雨特性と洪水比流量極値曲線について概説的検討を試みたが、本報告では、はじめに北四国を代表する4つ地域を対象として、既往最大級の豪雨資料を基に、各地域に起きたDAD特性と最大規模の洪水比流量曲線について調べ、次に愛媛県重信川流域を調査解析の対象流域に選ぶ、奥河川流域におけるDAD特性と洪水比流量曲線についてより詳細な立場から検討した結果を述べる。

1. 北四国地域における既往最大級の主要豪雨

近年の北四国における既往最大級の主要な豪雨のうち、その発生地域を調べると、Fig. 1 に示すように、愛媛県東部の山岳部(Ehime(1))においては昭和50年5号台風および昭和51年17号台風、県中部の高縦半島および松山平野(Ehime(2))においては昭和54年梅雨前線豪雨、

香川県本島地域においては昭和62年16号台風、小豆島地域においては昭和51年17号台風、となっている。また、重信川流域における既往最大級の主要な豪雨は、昭和54年梅雨前線豪雨、昭和51年17号台風および昭和50年5号台風、となっている。

2. 北四国を代表する4つの地域についての検討

上述の北四国を代表する4つの地域について、既往最大級の主要な豪雨を対象にDAD解析を行い、これらDAD関係と洪水到達時間の関係を用いて各地域に対する洪水比流量曲線を求めた。

DD特性；各降雨継続時間に対するDDの最大値をプロットし、各地域に起きたDAD関係を示した(Fig. 2)。

DA特性；各地域に起きたDAD関係ならびに洪水比流量曲線を求めるようとする立場から、DA特性を以下の3つの方法で解析し、Horton式で表示した。

算定法Ⅰ：流域と一致する仮想流域を想定する。

算定法Ⅱ：北四国の地域境界を考慮して仮想流域を想定する。

算定法Ⅲ：Ⅱにおいてさらに海上部を除いた仮想流域を想定する。

DAD解析結果(算定法Ⅲ)を見ると、Fig. 3-1に示すように、愛媛県東部の山岳部に強雨域が集中している場合のDA曲線は、県中部の平地および丘陵部に豪雨が広がる場合のものに較べて、面積の増加と共に P/β の値が著しく減少する曲線となり、次々DA特性が異なる。一方、Fig. 3-2に示すように、香川県の本島地域における豪雨のDA特性は、愛媛県中部のそれと類似した特性を示しているが、小豆島地域における豪雨のDA特性は、いずれ3地域の何れとも異なるようである。また、ここでは流域と一致する仮想流域を考えるために、DA式における β 値がこれまでの解析結果($\beta = 0.4 \sim 0.5$)に較べて大きく現われている。

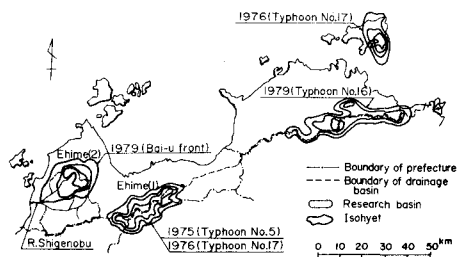


Fig. 1 既往最大級の主要豪雨

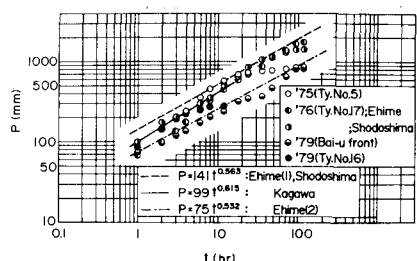


Fig. 2 DD関係

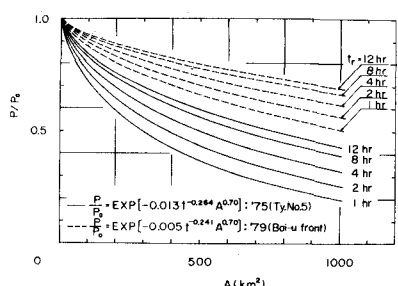


Fig. 3-1 DA関係(愛媛県東部 及び 中部)

洪水比流量曲線；北四国を代表する4つり地域に対する洪水比流量曲線は、それらの地域における最大のDD, DA (算定法Ⅲ) ならびに洪水伝播時間の諸関係を用いて表示される (Fig. 4)。これらの曲線とも各地域の既往洪水比流量値をよく包含しているが、愛媛県東部の山岳部に対する洪水比流量曲線と県中西部の高麗半島および松山平野に対するものは、その特性が若干異なるようである。一方、香川県の本島地域に対する洪水比流量曲線は、緩やかに衰滅の特性を示しており、愛媛県中部のそれに類似したものとよっている。また小豆島地域に対する曲線は、他の3地域よりも較べてその曲線の傾き、ならびに曲率に差異がみられ、他の地域と異なる特性が現われている。なお、洪水比流量曲線式を見ると、一般に β 値が若干大きくなっているが、これは等雨量線図を見れば明らかのように、河川流域を考慮してないことによるものと考えられる。以上の結果は、夫々の地域降雨特性を考慮し、有用かつ多当な洪水比流量曲線が得られるこことを示している。

3. 愛媛県重信川流域についての検討

次に愛媛県中西部の松山平野を貢流する重信川流域を査定解釈の対象流域に選ぶ、本流域の主要な豪雨である昭和4年梅雨前線豪雨、昭和5年1月台風ならびに昭和5年5月台風の各豪雨を対象として、河川流域を考慮した場合のDAD特性と洪水比流量曲線についてより詳細な検討を進めた。DA式としてここでは修正Horton式を用い、また流域定数である C_p の値には、流域内地目の面積率を考慮して270を採用している。

解析結果を見ると、山地域に強雨域が集中する豪雨(昭和50, 51年)と流域全域に広がる豪雨(昭和4年)とでは、そのDD (Fig. 5), DA特性 (Fig. 6) とも異なっており、またそれらの結果に基づく洪水比流量曲線 (Fig. 7) においても100 km²を超えるところで差が目立つくなる。また、ここでは河川流域を考慮した取扱いとしているが、 β 値が上述の北四国における値に較べて小さくなる特性が見られる。

なお、実測した洪水比

流量値(昭和54年梅雨前線豪雨)は、そのときの測定資料 ($f = 0.6$) をもとに計算した洪水比流量曲線上によく載っており、このような洪水比流量曲線算定法の有用性が明らかとなる。

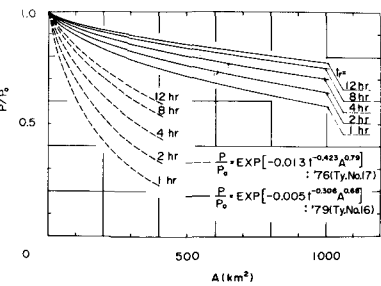


Fig. 3-2 DA関係(香川)本島及び小豆島

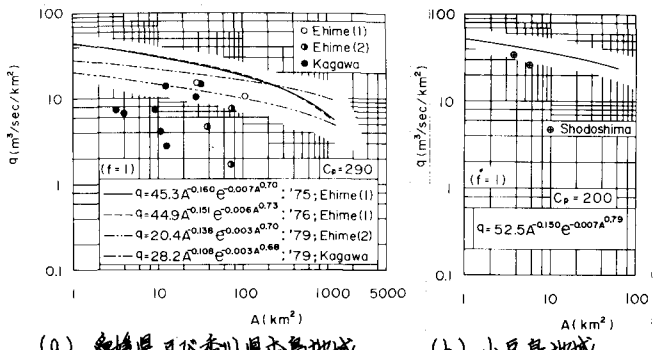


Fig. 4 洪水比流量曲線

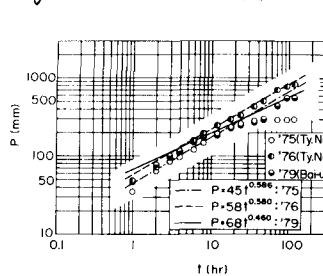


Fig. 5 DD関係(重信川流域)

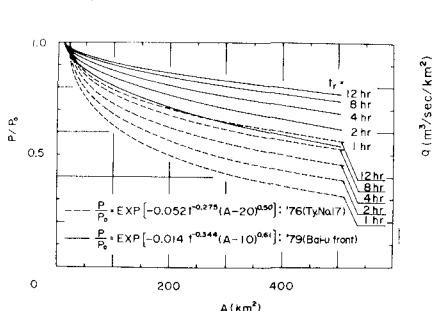


Fig. 6 DA関係

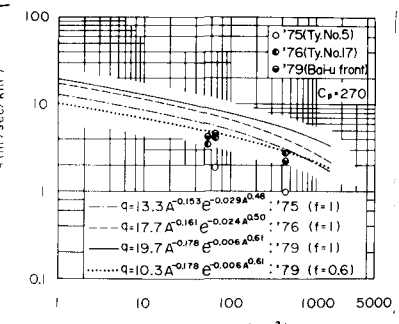


Fig. 7 洪水比流量曲線